

тией активации $\Delta E = 1.26$ эВ и изменяется от $2 \cdot 10^{-11}$ м²/В·с при 300 К до 10^{-5} м²/В·с при 570 К (рис. 2).

Полученные ВАХ, наклон которых является функцией напряжения и времени, свидетельствуют о наличии в запрещенной зоне LiNbO₃ квазинепрерывно распределенных по энергиям ловушек. Наиболее приемлемой для их описания является модель гауссовского распределения [9].

С помощью двухлучевого спектрофотометра Specord M-40 по методу двух толщин получена спектральная зависимость коэффициента оптического поглощения $\alpha(h\nu)$ в интервале 0.5—4.1 эВ. Она имеет сложный характер и представляет собой суперпозицию перекрывающихся индивидуальных составляющих гауссовского типа. По методике [10] проведено разложение сложного контура на ряд гауссовых пиков. Определены параметры гауссовых составляющих: положение максимума $h\nu_0$, интенсивность в максимуме A , полуширина ($\Delta h\nu$)_{1/2}. Результаты разложения приведены в таблице.

Список литературы

- [1] Nagels P. // Hall Effect and its Application / Ed. C. L. Chien and C. R. Westlaka. N. Y., Pleum Press, 1980. P. 253—280.
- [2] Рушников А. В. // Автореф. канд. дис. Л., 1976. 18 с.
- [3] Бунэ А. В., Пашков В. А. // ФТТ. 1986. Т. 28. № 10. С. 3024—3027.
- [4] Кузьминов Ю. С. // Электрооптический и нелинейно-оптический кристалл ниобата лития. М.: Наука, 1987. 264 с.
- [5] Вертопрахов В. Н., Сальман Е. Г. // Термостимулированные токи в неорганических веществах. Новосибирск: Наука, 1979. 333 с.
- [6] Гуенок Е. П., Кудзин А. Ю., Соколянский Г. Х. // УФЖ. 1976. Т. 21. № 5. С. 866—867.
- [7] Avramenko V. P., Kudzin A. Yu., Reprentcheva S. P., Sadovskaya L. Ya., Sokolianskii G. X. // Ferroelectrics. 1988. V. 82. P. 173—178.
- [8] Ламперт М., Марк П. Инжекционные токи в твердых телах: Пер. с англ. М.: Мир, 1973. 416 с.
- [9] Силинш Э. А. Электронные состояния органических молекулярных кристаллов. Рига: Зиннатне, 1978. 344 с.
- [10] Глебовский Д. Н., Крашенинников А. А., Бедрина М. Б., Зеликман П. И. // ЖПС. 1981. Т. 35. № 3. С. 926—928.

Днепропетровский
государственный университет

Поступило в Редакцию
7 февраля 1991 г.

© Физика твердого тела, том 33, № 8, 1991
Solid State Physics, vol. 33, N 8, 1991

ФОТОУПРУГИЙ ЭФФЕКТ В КРИСТАЛЛАХ LiNbO₃ ПРИ КРУЧЕНИИ

P. O. Влох, Ю. А. Пятак, И. П. Скаб

Как известно [1], фотоупругий эффект в кристаллах при воздействии однородных механических деформаций к настоящему времени довольно хорошо изучен. Однако исследования преломляющих свойств кристаллов при неоднородных деформациях с определенной конфигурацией, насколько нам известно, не проводились. Вместе с тем наиболее изученными типами неоднородной деформаций кристаллической среды являются кручение и изгиб [2]. Поэтому целью настоящей работы было изучение фотоупругого эффекта в кристаллах LiNbO₃ при кручении.

Из кристаллов ниобата лития (точечная группа симметрии 3m) были изготовлены образцы цилиндрической формы, при этом ось цилиндра совпадала с оптической осью кристалла. Скручивающий момент прилагался к основаниям цилиндрических образцов, т. е. кристалл скручивался

вокруг оптической оси и свет ($\lambda=632.8$ нм) распространялся вдоль оси симметрии третьего порядка.

В результате исследований нами были получены зависимость возникающего под действием кручения двупреломления от величины скручивающего момента (рис. 1), а также распределение возникающего двупреломления по сечению образцов, перпендикулярному к оси симметрии третьего порядка (рис. 2). Как видно из рис. 2, двупреломление не возникает только в том случае, когда оптический луч распространяется через геометрический центр кругового сечения; во всех остальных случаях индуцированное кручением двупреломление увеличивается при смещении оптического луча от центра кристалла. В данном случае неоднородность распределения двупреломления по сечению кристалла связана с неоднородностью распределения сдвиговых деформаций e_{31} и e_{32} , индуцирующих фотоупругий эффект.

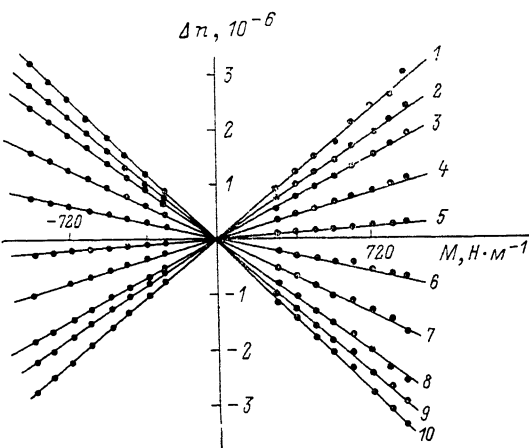


Рис. 1. Зависимости приращения двупреломления от скручивающего момента M при различных расстояниях L от центра круглого XY -сечения кристаллов LiNbO_3 ($\lambda=632.8$ нм).

$L=-130$ (1), -100 (2), -70 (3), -40 (4), -10 (5), 20 (6), 50 (7), 80 (8), 110 (9), 140 мкм (10).

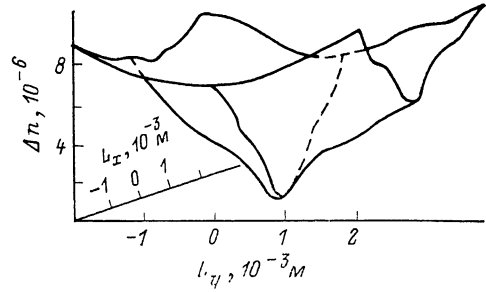


Рис. 2. Распределение индуцированного постоянным скручивающим моментом $M=1.68 \cdot 10^3$ Н/м двупреломления по XY -сечению кристалла LiNbO_3 ($\lambda=632.8$ нм).

Нами также было изучено распределение коноскопических картин при сканировании лазерным лучом по XY -сечению кристалла LiNbO_3 . Как оказалось, данное распределение соответствует ориентации кристалла LiNbO_3 , т. е. общая картина распределения коноскопических картин, а следовательно, и оптических индикатрис (рис. 3) имеет особые направления, которые совпадают с кристаллофизическими осями X и Y . Так, при сканировании световым лучом в плоскости XZ и распространении света вдоль оси Z поворот индикатрисы не обнаруживается, а при сканировании лучом в плоскости YZ и распространении света вдоль оси Z обнаруживается поворот индикатрисы на угол $\pm 45^\circ$. Действительно, уравнения оптической индикатрисы для кристаллов, обладающих симметрией $3m$, при наличии сдвиговых деформаций e_{31} и e_{32} имеют вид

$$\begin{aligned}
 & (a_{11} + p_{14}e_{32})x^2 + (a_{11} - p_{14}e_{32})y^2 + a_{33}z^2 + 2p_{44}e_{32}zy - 2p_{44}e_{31}zx - \\
 & - 2p_{14}e_{31}xy = 1 \text{ в квадранте } XY, \\
 & (a_{11} - p_{14}e_{32})x^2 + (a_{11} + p_{14}e_{32})y^2 + a_{33}z^2 - 2p_{44}e_{32}zy - 2p_{44}e_{31}zx - \\
 & - 2p_{14}e_{31}xy = 1 \text{ в квадранте } -XY, \\
 & (a_{11} - p_{14}e_{32})x^2 + (a_{11} + p_{14}e_{32})y^2 + a_{33}z^2 - 2p_{44}e_{32}zy + 2p_{44}e_{31}zx + \\
 & + 2p_{14}e_{31}xy = 1 \text{ в квадранте } -X-Y, \\
 & (a_{11} + p_{14}e_{32})x^2 + (a_{11} - p_{14}e_{32})y^2 + a_{33}z^2 + 2p_{44}e_{32}zy + 2p_{44}e_{31}zx + \\
 & + 2p_{14}e_{31}xy = 1 \text{ в квадранте } -YX,
 \end{aligned} \tag{1}$$

где a_{ij} — поляризационные константы; ее поворот вокруг оси Z запишется в виде

$$\begin{aligned}\operatorname{tg} 2\xi &= -e_{31}/e_{32} \quad \text{в квадранте } XY, \\ \operatorname{tg} 2\xi &= e_{31}/e_{32} \quad \text{в квадранте } -XY, \\ \operatorname{tg} 2\xi &= -e_{31}/e_{32} \quad \text{в квадранте } X-Y, \\ \operatorname{tg} 2\xi &= e_{31}/e_{32} \quad \text{в квадранте } -X-Y.\end{aligned}\quad (2)$$

Данные уравнения полностью описывают приведенную картину распределения коноскопических картин. Так, элементарные объемы, находя-

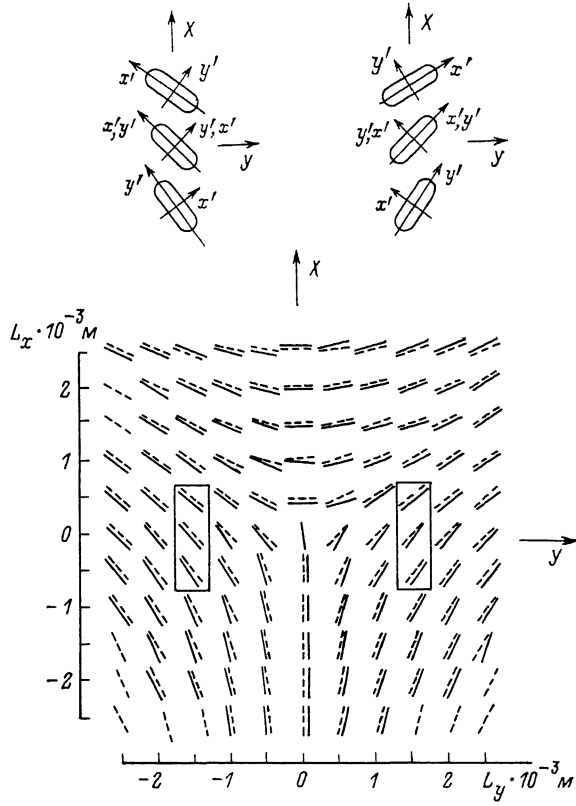


Рис. 3. Распределение оптических индикаторов в XY -сечении кристалла LiNbO_3 при постоянном скручивающем моменте.

Штриховыми линиями обозначены теоретически рассчитанные ориентации оптических индикаторов по формулам (1), (2). На вставке — разворот оптической индикаторы на угол 90° с сохранением ориентации длинной оси при переходе от квадрантов XY и $X-Y$ к квадрантам $-XY$ и $-X-Y$ соответственно. Линиями обозначены ориентации осей X и Y оптических индикаторов.

щиеся в «плоскости» YZ , проходящей через центр цилиндрического образца, подвергаются деформации e_{32} , изменяющей знак при переходе через его центр, а элементарные объемы, находящиеся в «плоскости» YZ , проходящей через центр образца, подвергаются деформации e_{31} , также изменяющей знак при переходе через центр кристалла. Что же касается остальных элементарных объемов, то они при кручении подвергаются совместному действию деформаций e_{31} и e_{32} , а направление и величина поворота определяются по вышеприведенным формулам и зависят от знака и соотношения данных деформаций. Вместе с тем в данном случае существует интересная особенность: при переходе от квадрантов XY и $X-Y$ к $-XY$ и $-X-Y$ соответственно оптическая индикаторы проворачивается на угол 90° с сохранением ориентации длинной оси (рис. 3, вставка). Данная

картина соответствует состыкованию кристаллофизической оси X с осью Y в кристалле LiNbO_3 .

Таким образом, в настоящей работе был изучен фотоупругий эффект в ниобате лития, а также экспериментально исследовано и объяснено распределение оптических индикаторов при кручении кристаллов LiNbO_3 .

Список литературы

- [1] Нарасимхамурти Т. С. Фотоупругие и электрооптические свойства кристаллов. М.: Мир, 1984. 624 с.
- [2] Сиротин Ю. И., Шаскольская М. П. Основы кристаллофизики. М.: Наука, 1975. 680 с.

Физико-механический институт
им. Т. В. Карпенко АН УССР
Львов

Поступило в Редакцию
22 февраля 1991 г.

Львовский государственный университет
им. И. Франко

УДК 539.2 : 548

© Физика твердого тела, том 33, № 8, 1991
Solid State Physics, vol. 33, N 8, 1991

ИСКАЖЕНИЯ ФОНОННЫХ СПЕКТРОВ КРИСТАЛЛОВ $\text{YBa}_2\text{Cu}_3\text{O}_7$ КИСЛОРОДНЫМИ ВАКАНСИЯМИ

B. Г. Mazurenko, B. C. Kortov

Переход в кристаллах $\text{YBa}_2\text{Cu}_3\text{O}_x$ от орторомбической ($x=7$) структуры к тетрагональной ($x=6$) связан с освобождением ионами кислорода позиций (e) и их частичным перераспределением по позициям (v). Обозначения позиций приняты в соответствии с пространственной группой D_{2h}^1 [1]. При этом возможно появление следующих дефектов: одиночные вакансии, дивакансии ионов кислорода в цепочках ... O(4)—Cu(1)—O(4), комплекс—вакансия и междоузельный ион кислорода в ранее свободной позиции (v). Такие структурные изменения приводят к искажениям фононных спектров кристаллов $\text{YBa}_2\text{Cu}_3\text{O}_7$, проявляющимся в возникновении дополнительных колебательных мод в спектрах ИК и КР [2, 3].

Целью настоящей работы явилось изучение возмущающего воздействия описанных выше дефектов на фононные спектры кристаллов $\text{YBa}_2\text{Cu}_3\text{O}_7$.

Для моделирования динамики решетки идеальных и дефектных кристаллов $\text{YBa}_2\text{Cu}_3\text{O}_7$ использовали модель жестких ионов. Параметры модели, а также рассчитанные на их основе частоты длинноволновых оптических фононов в центре зоны Бриллюэна приведены в работе [4]. Локальные плотности состояний (ЛПС) фононов в идеальном и дефектном кристаллах рассчитывали рекурсивным методом. Методика расчетов описана в работе [4]. С целью дополнительной проверки корректности используемых параметров нами рассчитана парциальная плотность фононных состояний (ППС) атомов меди в кристалле $\text{YBa}_2\text{Cu}_3\text{O}_7$ (рис. 1). На этом рисунке приведена также экспериментально определенная парциальная плотность колебательных состояний атомов меди [5]. Видно, что хорошо описываются положение основного пика в ППС, а также граничная частота колебаний атомов меди. Хуже согласуется спектр выше 6 ТГц. Удовлетворительное согласие рассчитанной и экспериментальной ППС подтверждает корректность настоящего подхода. Все описанные выше дефекты в кристалле $\text{YBa}_2\text{Cu}_3\text{O}_7$ реализуются в медь-кислородных цепочках ... O(4)—Cu(1)—O(4)... . Это обуславливает выбор атома меди Cu(1) в качестве «зонда», фиксирующего искажения фононных спектров кристалла $\text{YBa}_2\text{Cu}_3\text{O}_7$. В этой связи сначала рассчитывали ЛПС фононов